

# مطالعه برهمکنش نanolوله کربنی دو دیواره با هورمون محرکه فولیکولی (FSH) به کمک شبیه سازی دینامیک مولکولی

یاسمن محمودی<sup>۱</sup>، فرامرز مهرنژاد<sup>۱\*</sup> و خسرو خلیفه<sup>۲</sup>

<sup>۱</sup> ایران، تهران، دانشگاه تهران، دانشکده علوم و فنون نوین

<sup>۲</sup> ایران، زنجان، دانشگاه زنجان، دانشکده علوم

تاریخ پذیرش: ۹۶/۱۱/۱۶ تاریخ دریافت: ۹۶/۸/۱۸

## چکیده

برهمکنش نانوذراتی همچون نanolوله‌های کربنی با درشت‌مولکولهای زیستی به علت کاربرد گسترده آنها در حوزه‌های مختلف از جمله شناسایی و از بین بردن سلولهای سرطانی، مهندسی بافت، بلوری کردن پروتئینها، ساخت راکتورها و همچنین حس‌گرهای زیستی اهمیت زیادی پیدا کرده است. باور بر این است که نanolوله‌های کربنی از طریق برهمکنش با پروتئینها (نانوذرات-پروتئین کرونا) می‌توانند اثرات زیستی مهمی در بدن داشته باشند. Nanolوله‌های کربنی در حالت طبیعی و دست نخورده بسیار آبگریز هستند، بنابراین امکان اتصال Nanolوله‌های کربنی طبیعی و دست نخورده به هسته آبگریز پروتئین با استفاده از میل ترکیبی قوی بین Nanolوله‌های کربنی و اسیدآمینه‌های آبگریز وجود دارد. با این وجود، چنین اتصالی می‌تواند منجر به از دست دادن عملکرد اصلی پروتئین نیز شود. هورمون محرکه فولیکولی (FSH) گلیکوپروتئینی است که از بخش قدامی غده هیپوفیز آزاد می‌شود. این هورمون در رشد و بلوغ اندامهای جنسی و صفات ثانویه جنسی موثر است. با توجه به اینکه FSH، هورمون بسیار ناپایداری است و تحقیقات کمی در آزمایشگاه بر روی آن صورت گرفته است، در این مقاله سعی شده است که برهمکنش Nanolوله کربنی دودیواره با کایرالیته (۹ و ۱۴) و طول تقریباً ۲۵ آنگستروم با FSH از طریق شبیه‌سازی دینامیک مولکولی بررسی شود. نتایج حاکی از آن است که زنجیره‌های آبگریز بیشترین تمایل را جهت برهمکنش با سطح خارجی Nanolوله کربنی دودیواره از خود نشان می‌دهند و نیروهای غالب در برهمکنش میان Nanolوله‌های کربنی و هورمون مورد نظر، می‌توانند نیروهای  $\pi$  و آبگریز باشند.

واژه‌های کلیدی: Nanolوله کربنی دودیواره، FSH، شبیه‌سازی دینامیک مولکولی، نیروهای آبگریز

\* نویسنده مسئول، تلفن: ۰۲۱۶۱۱۱۲۴۸۶، پست الکترونیکی: mehrnejad@ut.ac.ir

## مقدمه

دلیل اندازه کوچک و ویژگیهای منحصر به فرد آنها، می‌توان در کاربردهای زیستی مهمی مانند شناسایی و از بین بردن سلولهای سرطانی، مهندسی بافت و بلوری کردن پروتئینها، ساخت راکتورها و حس‌گرهای زیستی استفاده کرد (۳). تحقیقات اخیر نشان داده است که ویژگیهای Nanolوله‌های کربنی همراه با ساختار شیمیایی منحصر به فرد آنها می‌تواند باعث توسعه سیستمهای انتقالی جدید بر پایه

Nanolوله‌های کربنی، لوله‌ای توخالی با دیواره‌ای از جنس اتمهای کربن می‌باشد که در آنها اتمهای کربن در ساختاری استوانه‌ای آرایش یافته‌اند. خواص ویژه Nanolوله‌های کربنی و مکانیسمهای احتمالی حاکم بر میانکنش آنها با درشت‌مولکولهای زیستی توجه بسیاری از محققان را به خود جلب کرده است (۱۳). مطالعات صورت گرفته نشان می‌دهد که از Nanolوله‌های کربنی به

احتمالی برای سمیت نanolوله‌های کربنی می‌توان پیش‌بینی کرد (۲۱). روش‌های مختلفی از جمله طیف‌سنجی مادون قرمز، دورنگ‌نمایی دورانی، پلاسمون سطحی مبتنی بر رزونانس، کالریمتری تیتراسیونی هم دما، طیف‌سنجی جرمی، فلورورسانس و همچنین کروماتوگرافی مبتنی بر اندازه ذرات را می‌توان برای مطالعه و بررسی برهمکنش پروتئینها با Nanozdrat مورد استفاده قرار داد (۱۲) که البته با وجود این روش‌های آزمایشگاهی متنوع، مطالعه اثر برهمکنش Nanololle کربنی با پروتئینها، هنوز به عنوان یک موضوع چالش برانگیز مطرح است.

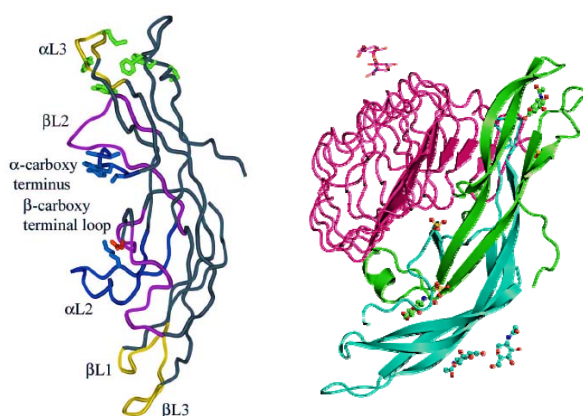
گلیکوپروتئینها، پروتئینهایی حاوی یک یا تعداد بیشتری واحد اولیگوساکاریدی غیرتکراری (گلیکان) هستند که محل اصلی حضور آنها در بدن، فضای خارج سلوی و غشای سلولهاست. گلیکوپروتئینها، نقشهای مهمی در انجام اعمال صحیح سلولهای و همچنین بروز بیماری‌ها دارند (۱۱). هورمونهای گلیکوپروتئینی، شامل هورمون محركه فولیکولی (FSH)، هورمون لوئینه کنده (LH) و هورمون گنادوتروپین جفتی انسان (HCG) می‌باشند، که از بخش قدامی هیپوفیز ترشح می‌شوند. گیرنده‌های این هورمونها، در سطح سلول قرار داشته و این هورمونها پس از اتصال به گیرنده‌های خاص خودشان، از طریق القای تغییر در کنفورماسیون‌شان، باعث فعال‌سازی سیستم cAMP می‌شوند.

هورمون Follicle-stimulating hormone (FSH) گلیکوپروتئینی است که از بخش قدامی غده هیپوفیز ترشح می‌شود و ترشح این هورمون توسط هورمون آزادکننده گنادوتروپین‌ها (Gonadotropins)، که از هیپوتالاموس آزاد می‌شود، تنظیم می‌گردد. FSH، هترودایمری با وزن مولکولی ۳۵,۵ کیلو Dalton است. این گلیکوپروتئین غنی از باندهای دی‌سولفیدی و دارای دو زنجیره پلی‌پپتیدی  $\alpha$  و  $\beta$  بوده، که از طریق اتصالات غیرکووالان به یکدیگر اتصال یافته‌اند (شکل ۱). زنجیره  $\alpha$  در تمامی گونه‌ها حفاظت

Nanololle‌های کربنی گردد. همچنین مطالعات تجربی صورت گرفته حاکی از آن است که مولکولهای دارویی قادرند به صورت کووالان از طریق پیوندهای قابل شکست زیستی و به صورت غیرکووالان از طریق سورفاکتانها و یا به صورت مستقیم روی سطح Nanololle‌های کربنی جذب شوند و آزاد شدن دارو از Nanololle کربنی می‌تواند با تخریب پیوند شیمیایی بین دارو و Nanololle کربنی توسط آنزیمهای درون سلوی صورت گیرد (۸). علی‌رغم کاربرد وسیع Nanololle‌های کربنی، اطلاعات بسیار اندکی در رابطه با تأثیر Nanololle‌های کربنی بر روی سلامت انسان و محیط وجود دارد (۶). یکی از موارد مهمی که در استفاده از Nanozdrat باید به آن توجه کرد، اتصال پروتئین به Nanozdrat و اثرات آن در محیط‌های زیستی است. در این راستا تحقیقات فراوانی در مورد عوامل مؤثر بر اتصال پروتئینها به Nanozdrat انجام گرفته است و مشخص شده است که مهم ترین و تأثیر گذارترین این عوامل، ترکیب شیمیایی Nanozdrه، بار سطحی Nanozdrه و خاصیت آبگریزی آن است. تحقیقات نشان می‌دهند که در این اتصال بار سطحی Nanozdr و به صورت خشی می‌باشد، قابلیت جذب پروتئین کمتری دارند. همچنین مطالعه بر روی Nanozdrat پلیمری با بار سطحی منفی، نشان داده است که افزایش چگالی بار سطحی Nanozdrat، باعث افزایش جذب و اتصال پروتئینها می‌گردد. از طرف دیگر خاصیت آبگریزی سطح Nanozdr، نه تنها بر میزان اتصال پروتئینها مؤثر است، بلکه در تعیین نوع پروتئینهای اتصالی به Nanozdrه نیز، نقش تعیین کننده دارد و به طور کلی، ذراتی که خاصیت آبگریزی بیشتری دارند، پروتئینهای بیشتری را جذب می‌کنند (۱۷). Nanololle‌های کربنی طبیعی و دست نخورده بسیار آبگریزند، بنابراین امکان اتصال Nanololle‌های کربنی طبیعی و دست نخورده به هسته آبگریز پروتئین، به دلیل میل ترکیبی قوی بین Nanololle‌های کربنی و اسید‌آمینه‌های آبگریز در هسته پروتئین وجود دارد. این اتصال می‌تواند منجر به از دست رفتن عملکرد اصلی پروتئین شود و در نتیجه یک مکانیسم

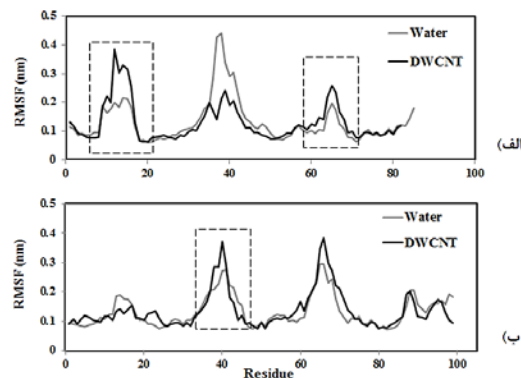
می‌افتد (۱۰). یوهانگ بای و همکارانش، طی یک دوره ۱۳ روزه، ۵ دز از نانولوله‌های کربنی چندجداره قابل حل در آب را به درون بدن موشها تزریق کرده و اثرات سمیت نانولوله‌های کربنی را روی سیستم تناسلی موش بررسی کردند و گزارش کردند که این نانولوله‌ها بعد از ۱۵ روز، سبب آسیب بافتی و فشار اکسایشی می‌شوند، اما بعد از ۶۰ و ۹۰ روز، این صدمات بدون مشاهده هرگونه اثرات روی هورمونها از جمله FSH، ترمیم شدند. این پژوهش نشان می‌دهد که نانولوله‌های کربنی، روی عملکرد اندامهای سیستم تناسلی از قبیل تولید نرمال هورمونها و اسپرم تأثیر چندانی ندارند (۴). این نتایج، در مورد اثرات سمیت نانولوله‌های کربنی و توان بالقوه‌شان برای کاربردهای زیست‌پزشکی جهت استفاده از آنها در دارورسانی، تأثیر به سزایی خواهد گذاشت. با توجه به اینکه FSH، هورمون بسیار ناپایداری است و تحقیقات کمی در آزمایشگاه بر روی آن صورت گرفته است، در نتیجه می‌توان با استفاده از شبیه‌سازی دینامیک مولکولی، مکانیسمهای احتمالی حاکم بر برهمنکنش آن با نانوذرات مختلف از جمله نانولوله‌های کربنی را مطالعه کرده و از نتایج آن جهت کاربردهای دارورسانی و یا بررسی تأثیر نانولوله کربنی بر روی FSH بحث بردا.

شده می‌باشد و حاوی ۹۲ اسیدآمینه است. این زنجیره علاوه بر حفاظت بین گونه‌ای، بین سایر هورمونهای گلیکوپروتئینی، نظیر LH، TSH و HCG نیز حفاظت شده می‌باشد. زنجیره  $\beta$  حاوی ۱۱۱ اسیدآمینه می‌باشد که برخلاف زنجیره آلفا با سایر هورمونهای گلیکوپروتئینی متفاوت می‌باشد. عملکرد اختصاصی زیستی FSH نیز به زیر واحد بتای آن مربوط می‌شود. بخش قندی هورمون، به صورت کوالان به اسیدآمینه آسپاراژین متصل است. هر زنجیره دو جایگاه گلیکوزیله شونده (در زنجیره آلفا، آسپاراژینهای شماره ۵۲ و ۷۸، و در زنجیره بتا آسپاراژینهای شماره ۷ و ۲۴) دارد (۹). این هورمون، سه لوب در زنجیره آلفا ( $\alpha L_1$ ) شامل اسیدآمینه‌های ۱۴ الی ۲۰،  $\alpha L_2$  شامل اسیدآمینه‌های ۳۸ الی ۵۰،  $\alpha L_3$  شامل اسیدآمینه‌های ۶۲ الی ۷۴) و سه لوب در زنجیره بتا ( $\beta L_1$  شامل اسیدآمینه‌های ۱۱ الی ۱۸،  $\beta L_2$  شامل اسیدآمینه‌های ۴۶ الی ۴۶  $\beta L_3$  شامل اسیدآمینه‌های ۶۳ الی ۷۲) دارد و هسته مرکزی هر زنجیره دارای موتیفی بنام سیستئن نات (Cysteine-knot) می‌باشد. در مردان، FSH در بیضه‌ها رشد سلولهای سرتولی را تحریک کرده و در تبدیل اسپرماتیدها به اسپرم (رونده اسپرمیوزن) نقش مهمی دارد. در زنان، FSH به رسپتور خود در سطح سلولهای گرانولوزا متصل می‌شود که بعد از این اتصال، رشد فولیکول اتفاق



شکل ۱ - (الف) ساختار سه بعدی هورمون محركه فولیکولی شامل دو زنجیره آلفا (رنگ سبز) و زنجیره بتا (رنگ آبی) به همراه رسپتور آن (رنگ بنفش)، مولکولهای کوچک که توسط مدل stick نمایش داده شده‌اند، بخش‌های قندی (NAGs) گلیکوپروتئین می‌باشد. ب) تصویر ریبون از هورمون FSH که لوبها در آن مشخص شده‌اند.

در ابتدا، دینامیک ساختاری و پایداری پروتئین FSH مورد آنالیز قرار گرفت. از آنجا که هورمون مورد نظر در این تحقیق، دارای دو زنجیره با توالی نسبتاً طویل است، هر زنجیره به طور جداگانه آنالیز شد. در شکل ۲، جذر میانگین مربع نوسانات (RMSD) (Root Mean Square (RMSF) کربن آلفا به ازای هر آمینواسید نشان داده شده است.



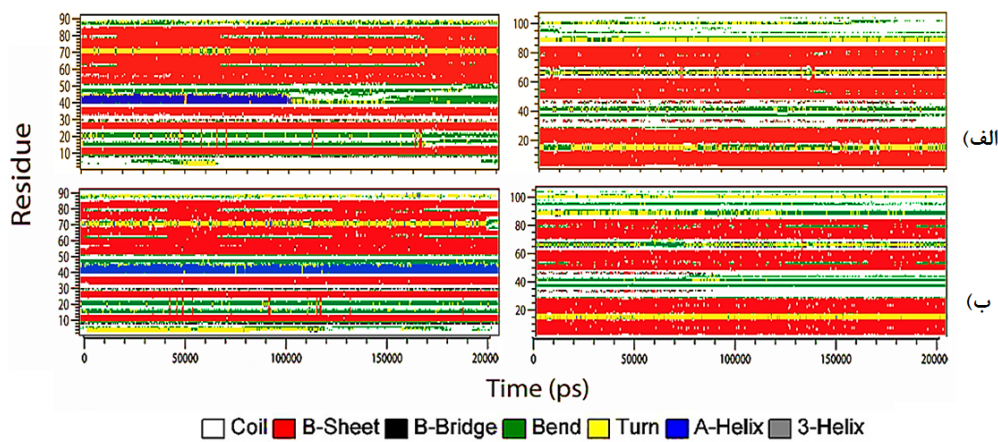
شکل ۲- جذر میانگین مربع نوسانات (RMSF) کربن آلفا به ازای هر آمینواسید: (الف) زنجیره آلفا (ب) زنجیره بتا / در هر دو زنجیره، میزان نوسانات FSH در پیکهای  $\alpha L_1$ ,  $\alpha L_3$ ,  $\beta L_2$  و  $\beta L_3$  در حضور نانولوله کربنی دودیواره (DWCNT)، افزایش یافته است، که با قادر مشخص شده‌اند.

در این آنالیز سه پیک در زنجیره آلفا در نواحی  $\alpha L_2$  و  $\alpha L_3$  و همچنین سه پیک در زنجیره بتا در نواحی  $\beta L_1$  و  $\beta L_2$  مشاهده می‌شود؛ که با توجه به شکل، افزایش نوسانات FSH را در حضور نانولوله کربنی دودیواره، در پیکهای  $\alpha L_1$ ,  $\alpha L_3$  و  $\beta L_2$ ، می‌توان دید، ولی در ناحیه  $\alpha L_2$ ، میزان نوسانات کمتر از آب خالص است. با توجه به اینکه نواحی  $\alpha L_1$ ,  $\alpha L_3$  و  $\beta L_2$  در گلیکوپروتئین تشکیل یک حفره آبگریز را می‌دهند (۱۰)، افزایش نوسانات در این سه لوب توجیه پذیر است. تحقیقات قبلی نیز نشان داده‌اند که اسیدآمینه‌های آبگریز بیشترین تمایل را جهت برهمکنش با سطح خارجی نانولوله دارند (۷، ۱۵ و ۱۹). به منظور درک میزان تغییرات ساختار دوم پروتئین طی ۲۰۰ نانوثانیه شبیه‌سازی، نمودار DSSP به دست آمد (شکل ۳).

## مواد و روشها

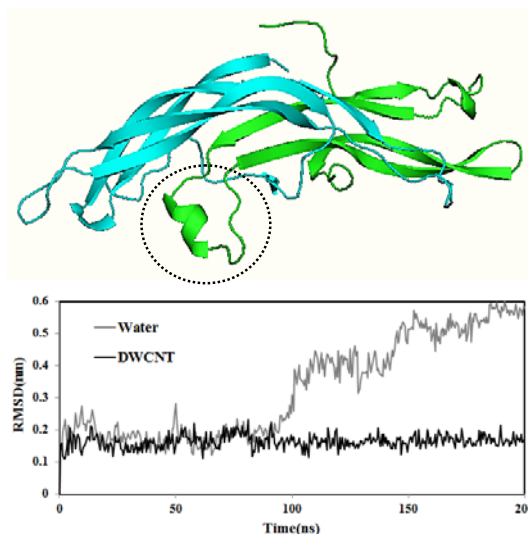
شبیه‌سازی‌های دینامیک مولکولی با استفاده از نرم‌افزار GROMACS version 4.5.7 (۱۴) به انجام رسیدند. در ابتدا ساختار pdb (Protein Data Bank) پروتئین (1xwd) از سایت www.rcsb.org به دست آمد (۹) و سپس نانولوله کربنی دودیواره با کایرالیته (۹ و ۱۴) و طول تقریباً ۲۵ آنگستروم، توسط نرم‌افزار VMD (Visual Molecular Dynamics) به دست آمد. بر اساس اطلاعات موجود در فایل pdb و مشاهده آن توسط نرم‌افزارهای گرافیکی VMD و PYMOL، عدم وجود نقص در ساختار pdb ثابت شد. در تمام شبیه‌سازیها از میدان نیروی گروموس ۵۴a7 استفاده گردید (۱۸). کمپلکس نانولوله-گلیکوپروتئین، از طریق قرار دادن گلیکوپروتئین در فاصله مناسب از سطح نانولوله کربنی به دست آمد. گلیکوپروتئین به تنهایی نیز در وسط جعبه‌ای با ابعاد ۹ نانومتر قرار داده شد. از مدل spc برای مولکولهای آب در این پروژه استفاده شده است. برای خنثی‌سازی سیستم و ایجاد تعادل بار، یونهای سدیم و کلر به سیستم اضافه گردیدند. برای حذف نیروهای بزرگ، ناشی از دور بودن احتمالی از ساختار تعادلی، حذف پیوندهای خطأ و رسیدن به یک سیستم پایدار، یک مرحله کمینه‌سازی انرژی نیز انجام گرفت. گام زمانی به کار رفته در انتگرال‌گیری از معادله حرکت، دو فمتو ثانیه در نظر گرفته شد و برای ۵۰۰ بار تکرار شد و مختصات سیستم در هر ۱۰ گام ثبت شد. برهمکنشهای لنارد جونز و الکتروستاتیک کوتاه برد تا شعاع ۱,۴ نانومتر محاسبه شدند و برهمکنشهای الکتروستاتیک دور برد با روش cutoff به دست آمدند. شبیه‌سازیها نیز در دمای ثابت ۳۰۰ درجه کلوین و فشار یک بار، براساس روش برندسن انجام شدند (۵). طول زمان شبیه‌سازی برای هر دو سیستم هورمون در آب خالص و سیستم هورمون در حضور نانولوله‌های کربنی، ۲۰۰ نانوثانیه در نظر گرفته شد.

## نتایج و بحث



شکل ۳- نمودار DSSP هورمون FSH در آب خالص (ب) در حضور نanolوله کربنی دودیواره

کربنی دودیواره نزدیک شده‌اند و در برهمکنش با آن نقش داشته‌اند.



شکل ۴- RMSD ناحیه مربوط به لوب  $\alpha L_2$  و شکل سمت راست محل قرارگیری این لوب را در ساختار FSH نشان می‌دهد.

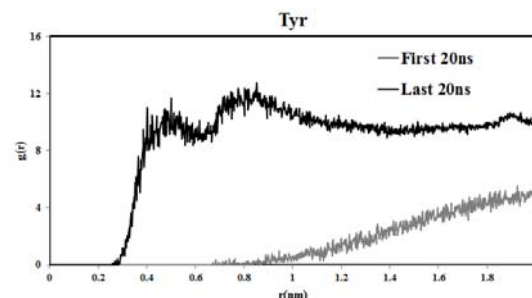
همان طور که از نمودار مشخص است (شکل ۵)، رزیدوی تیروزین در ۲۰ نانوثانیه آخر شبیه‌سازی نسبت به ۲۰ نانوثانیه اول، به نanolوله کربنی خیلی نزدیک شده است. در واقع در ۲۰ نانوثانیه آخر شبیه‌سازی، دو پیک، یکی در فاصله ۵/۰ نانومتر و دیگری در فاصله ۷/۰ نانومتر مشاهده می‌شود؛ که بیان‌گر بیشترین احتمال حضور رزیدوی تیروزین در این فاصله‌ها از نanolوله کربنی است. بر اساس نتایج به دست آمده از مطالعات آزمایشگاهی، مشخص

در آنالیز RMSF مشاهده شد که نوسانات ناحیه مربوط به آن زنجیره آلفا در حضور نanolوله کربنی دودیواره کاهش ۳۰٪ یافته است. ساختار این ناحیه لوپی، حاوی یک مارپیچ می‌باشد. در نمودار DSSP مشاهده می‌شود که کنفورماتیون مارپیچ ۳۰ در حضور نanolوله کربنی دودیواره تا زمان ۱۵۰ نانوثانیه حفظ شده است؛ در صورتی که مارپیچ ۳۰ در سیستم آب خالص بعد از ۱۰۰ نانوثانیه کاملاً از بین می‌رود. کاهش مقدار RMSF نیز در این ناحیه در حضور نanolوله کربنی دودیواره، می‌تواند به علت پایداری Root-mean-square deviation (RMSD) مارپیچ ۳۰ باشد. (شکل ۴) این ناحیه نیز به طور جداگانه به دست آمد تا بتوان جا به جایی رزیدوهای مارپیچ ۳۰ را در طول زمان شبیه‌سازی بهتر مشاهده کرد (شکل ۴). به طور کلی بر Define Secondary Structure of Proteins (DSSP) نتایج نمودار RMSD تغییرات ساختاری گفته شده، بسیاری از رزیدوهای هر دو زنجیره تا انتهای شبیه‌سازی ساختار خود را حفظ کرده‌اند، و تنها لوپها از ساختار خود خارج شده‌اند.

همچنین، توسط آنالیز RDF (Radial distribution function) مشخص شد که رزیدوهای تیروزین که در سطح هورمون قرار دارند؛ به طور قابل توجهی به نanolوله

از جمله آبومین، آلفاکیموتریپسین، سیتوکروم C، فیبرینوژن و ... در مطالعات مختلف، مورد بررسی قرار گرفته است (۱۷). با این وجود، مکانیسم این برهمکنشها تا حد زیادی پوشیده باقی مانده است و در مورد استفاده از نانوذرات نیاز به تحقیقات بیشتری است (۲، ۱۲ و ۱۷). نتایج این مطالعات، حاکی از آن است که زنجیره‌های جانبی آبگریز پروتئین، بیشترین تمایل را جهت برهمکنش باسطح خارجی نانولوله از خود نشان می‌دهند. در یک مطالعه انجام شده توسط یک گروه تحقیقاتی، برهمکنش یک پپتید طراحی شده؛ دارای ۲۹ آمینواسید تحت عنوان ۱-nano-1 را با سطح خارجی نانولوله کربنی، مورد مطالعه قرار داده‌اند؛ این گروه تحقیقاتی نشان داده‌اند که زنجیره‌های آبگریز بیشترین تمایل را جهت برهمکنش با سطح خارجی نانولوله از خود نشان می‌دهند (۱۹). کالوارسی و همکارانش نیز، برهمکنش لیزوژیم با نانولوله کربنی را مورد بررسی قرار داده و نتیجه گرفته که در طی این پروسه، آمینواسیدهای آبگریز بیشترین تمایل را جهت برهمکنش با نانولوله کربنی نشان می‌دهند. نتایج این تحقیق نیز نشان می‌دهد که اسیدآمینه‌های آبگریز، برهمکنش بیشتری با سطح نانولوله‌های کربنی دودیواره داشته‌اند. همچنین در مورد نحوه برهمکنش سایر نانوذرات با پروتئینها بررسیها نتایج مشابهی را در مورد نقش اسیدآمینه‌های آبگریز نشان داده‌اند (۱). به علاوه، در کنار برهمکنشهای آبگریز، اسیدآمینه‌های آروماتیک با ساختار  $\pi-\pi$  می‌توانند بر روی سطح نانولوله‌های کربنی جذب شوند، که در این مطالعه با انجام آنالیز RDF مشخص شد که رزیدوهای تیروزین به طور قابل توجهی به نانولوله کربنی دودیواره نزدیک و وارد برهمکنش شده‌اند. بنابراین نیروهای غالب، در برهمکنش میان نانولوله کربنی دودیواره و هورمون مورد نظر، می‌توانند نیروهای  $\pi-\pi$  و آبگریز باشند. در مورد تغییرات ساختار دوم نیز، با وجود پایدار ماندن ساختارهای مارپیچ و تا حدی صفحات بتا، لوپها در ساختار هورمون تغییر کرده‌اند و در

شده است که پپتیدهای حاوی حلقه‌های آروماتیک، می‌توانند از طریق پیوندهای  $\pi-\pi$  بر سطح نانولوله کربنی جذب شوند (۱ و ۲) و مشاهده شده است که پیوندهای  $\pi$  در برهمکنش نانولوله‌های کربنی و اسیدآمینه‌های آروماتیک شامل تریپتوفان، تیروزین و فنیل آلانین، نقش مهمی را در جذب پروتئینها بر روی دیواره نانوذره بازی می‌کنند. در واقع، همبستگی معناداری میان بازده کیتیکی و مقدار اسیدآمینه‌های آروماتیک در ساختار پروتئین مشاهده شده است. برای مثال، پروتئین BFG آهسته‌ترین کیتیک را میان سایر پروتئینهای خونی آزمایش شده دارد و بیشتر اسیدآمینه‌های آروماتیک آن در هسته قرار دارند، در حالی که BSA با داشتن ۵۴ اسید آمینه آروماتیک و تعداد ۱۰ اسید آمینه آروماتیک سطحی، ثابت سرعت سریع‌تری دارد؛ به همین علت BSA در سطح نانولوله‌های کربنی، سریع‌تر به تعادل ترمودینامیکی می‌رسد (۱۲). در واقع هرچقدر اسیدآمینه‌های آروماتیک جذب شده بر روی سطح نانولوله کربنی بیشتر باشد، پیوند میان پروتئین و نانولوله کربنی محکم‌تر خواهد بود (۲). در مورد FSH نیز با توجه به نمودار RDF، می‌توان اظهار داشت که تیروزین، جذب سطح دیواره نانولوله کربنی شده است و بنابراین از طریق پیوندهای  $\pi-\pi$ ، با نانولوله‌های کربنی برهمکنش داشته است.



شکل ۵- نمودار توزیع شعاعی رزیدوی تیروزین

### نتیجه‌گیری

همان طور که پیش از این گفته شد، تأثیر نانولوله‌های کربنی بر روی ساختار و کنفورماتیون پروتئینهای مختلف

مربوط به زمان در نظر گرفته شده برای انجام شبیه‌سازی می‌باشد، چرا که زمانهای طولانی‌تر در شبیه‌سازی، می‌توانند رفتار سیستم را بهتر نشان دهند؛ و سرانجام اینکه نتایج به دست آمده بر اساس پارامترهای میدان نیرو گروموس ۵۴a7 است و میدان نیروهای دیگر ممکن است رفتارهای دیگری را از سیستم نشان دهن. بنابراین، با در نظر گرفتن نتایج حاصل از این مطالعه و در نظر گرفتن محدودیتهای مورد اشاره، مطالعات بیشتری برای اثبات دقیق نتایج به دست آمده نیاز است.

طول شبیه‌سازی به کویل تبدیل شده‌اند. اگر چه شبیه‌سازی در این تحقیق، نتایج قابل تفسیری را به دست آورده است، با این وجود محدودیتهایی در این گونه شبیه‌سازیها وجود دارد که از موانع مهم، در درک بهتر چگونگی جذب پروتئین و دینامیک آنها بر روی سطوح نانوذرات محسوب می‌شوند. اولین محدودیت، این است که این محاسبات با جهت‌گیری خاصی از پروتئین شروع شده‌اند، در حالی که، جهت‌گیریهای احتمالی دیگر، می‌توانند منجر به بروز رفتارهای متفاوتی از پروتئین شده و نتایج نهایی را تحت تأثیر قرار دهند. دومین محدودیت،

## منابع

- ۱- فربیا امجدی، بهرام گلستانی ایمانی، فرخ کریمی. ۱۳۹۴. بررسی اثر نانوذرات اکسید مس روی ژنوم باکتری اشریشیاکلی با استفاده از نشانگرهای مولکولی RAPD پژوهش‌های سلولی مولکولی (زیست‌شناسی ایران). دوره ۲۸. شماره ۴. ص ۴۷۵-۴۸۷.
- ۲- Amenta, V & Aschberger, K. 2015. Carbon nanotubes: potential medical applications and safety concerns. *Wiley Interdisciplinary Reviews: Nanomedicine and Nanobiotechnology*, 7, 371-386.
- ۳- Bai, Y., Zhang, Y., Zhang, J., Mu, Q., Zhang, W., Butch ,E. R., et al. 2010. Repeated administrations of carbon nanotubes in male mice cause reversible testis damage without affecting fertility. *Nature nanotechnology*, 5, 683-689.
- ۴- Berendsen, H. J., van der Spoel, D., & van Drunen, R. 1995. GROMACS: a message-passing parallel molecular dynamics implementation. *Computer Physics Communications*, 91, 43-56.
- ۵- Buzea, C, Pacheco, I. I., & Robbie, K. 2007. Nanomaterials and nanoparticles: sources and toxicity. *Biointerphases*, 2, MR17-MR71.
- ۶- Calvaresi, M., Hoefinger, S., & Zerbetto, F. 2012. Probing the Structure of Lysozyme-Carbon-Nanotube Hybrids with Molecular Dynamics. *Chemistry-A European Journal*, 18, 4308-4313.
- ۷- Fan, Q. R., & Hendrickson, W. A. 2005. Structure of human follicle-stimulating hormone in complex with its receptor. *Nature*, 433, 269-277.
- ۸- Fox, K. M., Dias, J. A., & Van Roey, p. 2001. Three-dimensional structure of human follicle-stimulating hormone. *Molecular endocrinology*, 15, 378-389.
- ۹- Funakoshi, Y., & Suzuki, T. 2009. Glycobiology in the cytosol: the bitter side of a sweet world," *Biochimica et Biophysica Acta (BBA)-General Subjects*. 1790, 81-94.
- ۱۰- Ge, C., Du, J., Zhao, L., Wang, L., Liu, Y., Li, D., et al. 2011. Binding of blood proteins to carbon nanotubes reduces cytotoxicity. *Proceedings of the National Academy of Sciences*. 108, 16968-16973.
- ۱۱- He, H., Pham-Huy, L. A., Dramou, P., Xiao, D, Zuo, P. & Pham-Huy, C. 2013. Carbon nanotubes: applications in pharmacy and medicine. *BioMed research internationa*, 2013,2314-6133.
- ۱۲- Hess, B., Kutzner, C., Van Der Spoel, D., & Lindahl, E. 2008. GROMACS 4: algorithms for highly efficient, load-balanced, and scalable molecular simulation. *Journal of chemical theory and computation*, 4, 435-447.

- 15- Liu, Z., Tabakman, S., Welsher, K., & Dai, H. 2009. Carbon nanotubes in biology and medicine: in vitro and in vivo detection, imaging and drug delivery. *Nano research*, 2, 85-120.
- 16- Rajesh, C., Majumder, C., Mizuseki, H., & Kawazoe, Y. 2009. A theoretical study on the interaction of aromatic amino acids with graphene and single walled carbon nanotube. *The Journal of chemical physics*, 130, 124911.
- 17- Saptarshi, S. R., Duschl, A., & Lopata, A. L. 2013. Interaction of nanoparticles with proteins: relation to bio-reactivity of the nanoparticle. *J Nanobiotechnol*, 11, 26.
- 18- Schmid, N., Eichenberger, A. p., Choutko, A., Riniker, S., Winger, M., Mark, A. E., et al. 2011. Definition and testing of the GROMOS force-field versions 54A7 and 54B7. *European biophysics journal*, 40, 843-856.
- 19- Wallace, E. J., D'Rozario, R. S., Sanchez, B. M., & Sansom, M. S. 2010. A multiscale simulation study of carbon nanotube interactions with designed amphiphilic peptide helices. *Nanoscale*, 2, 967-975.
- 20- Wang, C., Li, S., Zhang, R., & Lin, Z. 2012. Adsorption and properties of aromatic amino acids on single-walled carbon nanotubes. *Nanoscale*, 4, 1146-1153.
- 21- Zuo, G., Fang, H., & Zhou, R. 2011. *Nanotoxicity: exploring the interactions between carbon nanotubes and proteins*: INTECH Open Access Publisher.

## Study of the Interaction of Double-Walled Carbon Nanotubes with Follicle-Stimulating Hormone: A Molecular Dynamics Simulation

Mahmoudi Y.<sup>1</sup>, Mehrnejad F.<sup>1</sup> and Khalifeh Kh.<sup>2</sup>

<sup>1</sup> Faculty of New Sciences and Technologies, University of Tehran, Tehran, I.R. of Iran

<sup>2</sup> Dept. of Biology, Faculty of Sciences, University of Zanjan, I.R. of Iran

### Abstract

The interaction between nano particles such as carbon nanotubes (CNTs) and macromolecules are receiving much attention because of their wide range of applications in cancer therapy, tissue engineering, protein crystallization and biological sensors. It is believed that carbon nanotubes through interaction with proteins (nanoparticle-protein corona) can have biological effects. Carbon nanotubes are highly hydrophobic in pristine condition, so there is the possibility of interaction of natural and pristine carbon nanotubes to the hydrophobic core of protein due to the strong affinity between carbon nanotubes and hydrophobic amino acids. However, such interaction can lead to loss of main function of the protein. Follicle-stimulating hormone (FSH) is a glycoprotein hormone that is release from the pituitary gland. This hormone is regulates the development and growth of pubertal maturation, and reproductive processes of the body. FSH is a very unstable hormone in vitro and there has been very little research on it, so in this paper, we study the interaction of double-walled carbon nanotube of chirality (11, 14) and approximately 25 Å in length with FSH by molecular dynamics simulation. The results revealed that the hydrophobic chains tend to interact with the outer surface of double-walled carbon nanotube, and the  $\pi-\pi$  and hydrophobic interaction is revealed to be main driving force to the adsorption between carbon nanotubes and the hormone.

**Key words:** Double-walled carbon nanotube, FSH, molecular dynamics simulation, hydrophobic interaction